

بررسی تحلیلی اثر ثابت‌های زمانی سیال ویسکوالاستیک

بر جریان در لوله‌های خمیده

امین احمدی جنیدی^۴

دانشکده مهندسی مکانیک

دانشگاه صنعتی شهرورد

محمد رضا حیرانی نوبری^۳

دانشکده مهندسی مکانیک

دانشگاه صنعتی امیرکبیر

(تاریخ دریافت: ۱۳۸۸/۰۴/۰۸؛ تاریخ پذیرش: ۱۳۸۹/۰۱/۱۶)

محمود نوروزی^۱ و محمد حسن کیهانی^۲

دانشکده مهندسی مکانیک

دانشگاه صنعتی شهرورد

چکیده

در این تحقیق، حل تحلیلی برای جریان سیال مرتبه دو در یک لوله خمیده ارائه شده است. در این راستا از روش حساب اختلالات برای تحلیل میدان جریان استفاده شده و برخلاف تحقیقات پیشین، جملات سری‌های حساب اختلالات تا مرتبه دو محاسبه شده‌اند. در ضمن، رابطه تحلیلی برای دبی جریان ارائه شده و سرعت محوری، جریان‌های ثانویه و مولفه‌های میدان تنش به شکل دقیقی محاسبه شده‌اند. همچنین، براساس حل ارائه شده برای سیال مرتبه دو در تحقیق حاضر و نیز برای سیال فوق همرفتی ماکسول در تحقیقات پیشین، اثر دو ثابت زمانی رهایی از تغییر شکل و رهایی از تنش سیال ویسکوالاستیک بر جریان در لوله‌های خمیده بررسی شده است. نتایج بدست آمده نشان می‌دهد که افزایش زمان رهایی از تغییر شکل و زمان رهایی از تنش سیال ویسکوالاستیک به ترتیب به افزایش و کاهش دبی جریان منجر می‌شود که این امر از جمله مهم‌ترین نوآوری‌های تحقیق حاضر می‌باشد.

کلمات کلیدی: سیال مرتبه دو، جریان در لوله خمیده، زمان رهایی از تغییر شکل، زمان رهایی از تنش، روش حساب اختلالات

Analytical Investigation of Viscoelastic Fluid's Time Constants on Flow in Curved Pipes

M. Norouzi and M.H. Kayhani

Mech. Eng. Dep't.

Shahrood Univ. of Tech.

M.R. Heirani-Nobari

Mech. Eng. Dep't.

Amirkabir Univ. of Tech.

A.A. Joneidi

Mech. Eng. Dep't.

Shahrood Univ. of Tech.

ABSTRACT

In this paper, an analytical solution for the second order fluid flow in a curved pipe is presented. Perturbation method is used for solving the governing equations and unlike the previous researches, the second order perturbation terms were considered. Here, an analytical relation for the flow rate was presented and axial velocity, secondary flows, and components of stress field were calculated accurately. Also, based on the solution of second order fluid flow presented in current work and upper convected Maxwell fluid flow obtained in previous studies, the effect of retardation and relaxation times of viscoelastic fluids on flow in curved pipes were investigated. In this article, it was shown that increasing the retardation and relaxation times cause the flow rate enhancement and reduction, respectively, which is one of the main innovations of current study.

Keywords: Second Order Fluid, Curved Pipe Flow, Relaxation Time, Retardation Time, Perturbation Method

۱- دانشجوی دکتری (نویسنده پاسخگو): mnorouzi@shahroodut.ac.ir

۲- دانشجو

www.SID.ir

۳- دانشیار

۴- دانشجوی کارشناسی ارشد

گردند. نتایج تحلیلی و عددی بدست آمده توسط آنها در اعداد رینولدز پایین تر از ۱,۰۰۰ هم خوانی مناسبی با هم داشتند.

فن^۶ و همکارانش^[۲] تحقیقات خود را بر روی جریان توسعه یافته خوشی و اینرسی سیال اولدروید-بی و UCMN₂ در یک لوله خمیده به انجام رسانده‌اند. آنها برای این منظور از روش حجم محدود استفاده نمودند و دریافتند که با ازدیاد اثر اختلاف تنش نرمال اول، شدت جریان‌های ثانویه و افت فشار افزایش می‌یابد، حال آنکه ازدیاد اختلاف تنش نرمال دوم دارای اثری معکوسی است که این نتایج به خوبی با مشاهدات آزمایشگاهی^[۶-۴] توافق داشت.

چن^۷ و همکارانش^[۷] با استفاده از روش‌های عددی و تحلیلی جریان توسعه یافته سیال اولدروید-بی در یک لوله خمیده چرخان را مورد بررسی قرار دادند و دریافتند که توزیع فشار دینامیکی در سطح مقطع لوله در تعادل با نیروی کربولیس است. تحلیل مشابهی نیز توسط کیهانی و همکاران^[۸] درخصوص اثر زاویه دوران کanal خمیده صورت گرفته است. در طی این تغییر جهت راستای برهم کنش زاویه دوران کanal سبب تغییر جهت راستای برهم کنش نیروهای کربولیس و نیروی گریز از مرکز ناشی از انحناء می‌شود که این امر تغییرات بزرگی را در شدت و شکل برآیند جریان‌های ثانویه درپی دارد.

در کنار مطالعات عددی، محققانی نیز به مطالعه تحلیلی این جریان پرداخته‌اند. دین^۸ [۹-۱۰] از اولین پژوهشگرانی بود که جریان نیوتونی در مجاری خمیده را مورد بررسی قرار داد. او با استفاده از روش حساب اختلالات^۹ جریان سیال نیوتونی در یک لوله خمیده را تحلیل نمود و توانست وجود جریان‌های ثانویه تیلور-گورتلر^{۱۰} ناشی از انحناء را بطور تحلیلی اثبات نماید.

توپک اوکلو^{۱۱} [۱۱] حل دین را از طریق محاسبه جملات مرتبه بالای سری‌های حساب اختلالات تکمیل نمود و رابطه تحلیلی را برای افت فشار این جریان بدست آورد.

۱- مقدمه

جریان در مجاری خمیده یکی از جریان‌های پایه و مهم در مکانیک سیالات محسوب می‌شود که از دیرباز تاکنون مورد توجه محققین بوده است. با این وجود، بسیاری از پژوهش‌های گذشته به سیالات نیوتونی محدود بوده و تنها تعداد کمی از آنها به تحقیق در ارتباط با سیالات غیر نیوتونی پرداخته‌اند. مطالعه این جریان به ویژه در پژوهشی از اهمیت بسزایی برخوردار است که برای نمونه می‌توان به مطالعه جریان خون در رگ‌های خمیده اشاره نمود به این علت که احتمال وقوع انسداد در این رگ‌ها بالاتر است. همچنین این جریان بخشی از هندسه تجهیزات آزمایش‌های تشخیص طبی، نظری کیت‌های مونیتورینگ انسولین و استخراج DNA را تشکیل می‌دهد.

به طور کلی بخش عمده کاربردهای جریان سیالات غیرنیوتونی در مجاری خمیده مربوط به انتقال این مواد در علوم پزشکی، کاربردهای صنعتی و بیولوژیکی، صنایع غذایی، هسته‌ای، شیمیایی سبک و سنگین، پتروشیمی و ... است. امروزه استفاده از مواد ویسکوالاستیک به عنوان سیال عامل در مبدل‌های حرارتی مورد توجه قرار گرفته که این امر مبین لزوم مطالعه جریان و انتقال حرارت این مواد در مجاری مستقیم و خمیده است. یکی دیگر از کاربردهای اصلی این جریان مربوط به تزریق مذاب‌ها و محلول‌های پلیمری در قالب‌های ساخت قطعات پلاستیکی است.

برخی از محققین، جریان سیالات غیر نیوتونی در مجاری خمیده را به شکل عددی بررسی نموده‌اند. ژانگ^۱ و همکارانش^[۱] از روش گالرکین^۲ برای مطالعه بر روی جریان سیال اولدروید-بی^۳ در یک لوله خمیده استفاده کردند و نتایج خود را برای اعداد دین و واینبرگ^۴ بزرگ ارائه دادند.

فن تین و ژنگ^۵ [۲] نیز معادلات مشابهی را برای جریان سیال اولدروید-بی بین دو صفحه خمیده در نسبت‌های انحنای کوچک ارائه دادند و با استفاده از روش‌های عددی و تحلیلی تقریبی اقدام به حل این معادلات

6- Fan

7- Chen

8- Dean

9- Perturbation Method

10- Taylor-Gortler

11- Topakoglu

1- Zhang

2- Galerkin Method

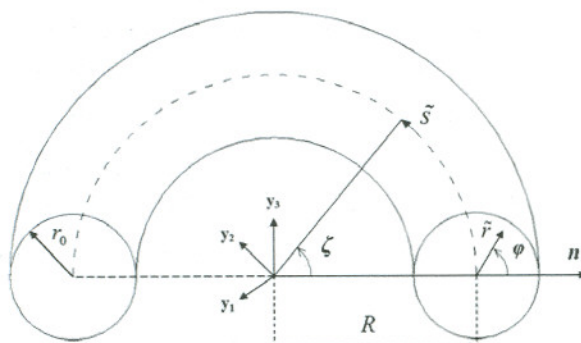
3- Oldroyd-B

4- Weissenberg Number

5- Phan-Thien and Zhang

Archive of SID

ولی به دلیل عدم محاسبه جملات مرتبه بالا، تحلیل آن‌ها به رابطه تحلیلی برای تعیین دبی جریان منجر نمی‌شود. در این تحقیق، جریان توسعه یافته سیال مرتبه دو در یک لوله خمیده به طور تحلیلی مورد بررسی قرار گرفته است. شکل ۱ هندسه جریان در تحقیق حاضر را نشان می‌دهد. در اینجا مقطع مجرأ به صورت مدور و شعاع انحنای کاتال ثابت فرض شده است. در این پژوهش، جهت بررسی تحلیلی جریان از دستگاه مختصات منحنی الخط ترویدال^{۱۴} ($\tilde{r}, \phi, \tilde{s}$) استفاده شده و مشابه تحقیقات پیشین^{۱۵ و ۲۱} [۲۰-۲۱]، تحلیل جریان با استفاده از روش حساب اختلالات صورت گرفته است. محاسبه تغییرات مقاومت مجرای خمیده در برابر جریان نیازمند محاسبه جملات مرتبه بالای سری‌های حساب اختلالات است که عملیات ریاضی مربوط به محاسبه این جملات، بسیار دشوارتر از جملات دارای مرتبه پایین است. در اینجا برخلاف تحقیقات پیشین، این جملات مرتبه بالا برای جریان سیال مرتبه دو در لوله‌های خمیده محاسبه شده و رابطه تحلیلی برای تغییرات دبی جریان اینرسی این سیال ارائه شده است. همچنین، با محاسبه این جملات، سرعت محوری، جریان‌های ثانویه و میدان تنش به شکل دقیق‌تری محاسبه شده است. از آنجا که ثابت زمانی سیال فوق همرفتی ماکسول (UCM)، زمان رهایی از تنش^{۱۵} و



شکل (۱): هندسه جریان در تحقیق حاضر.

اولین نمونه از این دسته تحقیقات در مورد جریان سیالات غیرنیوتونی، توسط توماس و والترز^۱ [۱۲] انجام شده است. آن‌ها جریان سیال اولدروید-بی در یک لوله خمیده را مورد بررسی قرار دادند و دریافتند که جریان‌های ثانویه^۲ رابطه مستقیمی با خواص الاستیک این سیال دارند. سارین^۳ [۱۳-۱۴] تحقیق مشابه‌ای را انجام داد و دریافت که شدت جریان‌های ثانویه با توان چهارم عدد دبورا^۴ رابطه دارد.

رابرتسون و مولر^۵ [۱۵] تحقیقاتی را بر روی جریان خزشی و اینرسی سیال اولدروید-بی در یک لوله خمیده و با استفاده از روش تحلیلی انجام دادند و دریافتند که در جریان خزشی برای سیالات با عدد واizenberg پایین، مقدار دبی جریان در لوله خمیده اندکی بیشتر از دبی جریان در یک لوله مستقیم می‌باشد. با افزایش عدد واizenberg و همچنین کاهش ویسکوزیتی حلal نیوتونی در جریان اینرسی، نسبت مقاومت به شدت کاهش می‌یابد.

ایمتو^۶ و همکارانش [۱۶-۱۷] بر روی سیالات پاورلو^۷ و وایت-متزner^۸ در لوله‌های دارای انحنای سینوسی، سهموی و هذلولوی مطالعاتی را انجام دادند و داس^۹ [۱۸] نیز مطالعات ایمتو را برای سیالات بینگهام ادامه داد.

شрма و پراکاش^{۱۰} [۱۹] در تحقیقات خود بر روی سیال مرتبه دو^{۱۱}، تنها به اختلاف تنش نرمال اول توجه کردند و با صفر در نظر گرفتن اختلاف تنش نرمال دوم، نتایج خود را ارائه نمودند. بون^{۱۲} و همکارانش [۲۰] حل مشابهی را برای جریان خزشی سیال فوق همرفتی ماکسول^{۱۳} و سیال مرتبه دو در یک لوله خمیده ارائه داده اند.

جیتچوت و رابرتسون^{۱۴} [۲۱] ضمن بررسی امکان حل جریان اینرسی سیال مرتبه دو در لوله خمیده به روش حساب اختلالات، پاسخ تحلیلی تا مرتبه اول بدست آورده اند

1- Thomas and Walters

2- Sarin

3- Deborah Number

4- Robertson and Muller

5- Iemoto

6- Power Law

7- White-Metzner

8- Das

9- Sharma and Prakash

10- Second Order Fluid (SOF)

11- Bowen

12- Upper Convected Maxwell (UCM)

13- Jitchote and Robertson

$$\begin{aligned} \operatorname{Re} & \left[\frac{1}{rB} \left(\frac{\partial \psi}{\partial r} \frac{\partial w}{\partial \phi} - \frac{\partial \psi}{\partial \phi} \frac{\partial w}{\partial r} \right) - \right. \\ & \left. \delta \frac{w}{B^2} \left(\frac{1}{r} \frac{\partial \psi}{\partial \phi} \cos \phi + \frac{\partial \psi}{\partial r} \sin \phi \right) \right] = \\ & \frac{4}{B} + \frac{\partial \tau_{rs}}{\partial r} + \frac{1}{r} + \frac{\partial \tau_{\phi s}}{\partial \phi} + \frac{1}{r} \tau_{rs} + \\ & \frac{2\delta}{B} (\tau_{rs} \cos \phi - \tau_{\phi s} \sin \phi), \\ \operatorname{Re} & \left[\frac{1}{rB^2} \left(\frac{\partial \psi}{\partial r} \frac{\partial}{\partial \phi} \nabla^2 \psi - \frac{\partial \psi}{\partial \phi} \frac{\partial}{\partial r} \nabla^2 \psi \right) + \right. \\ & \left. \delta \left[2w \left(\frac{\partial w}{\partial r} \sin \phi + \frac{1}{r} \frac{\partial w}{\partial \phi} \cos \phi \right) \right. \right. \\ & \left. + \frac{1}{B^2} \left(\sin \phi \left(\frac{3}{r} \left(\frac{\partial \psi}{\partial r} \right)^2 + \frac{3}{r^2} \frac{\partial^2 \psi}{\partial \phi^2} \frac{\partial \psi}{\partial r} \right. \right. \right. \\ & \left. \left. \left. - \frac{1}{r^2} \frac{\partial \psi}{\partial \phi} \frac{\partial^2 \psi}{\partial r \partial \phi} + \right. \right. \right. \\ & \left. \left. \left. \frac{1}{r^3} \left(\frac{\partial \psi}{\partial \phi} \right)^2 + 2 \frac{\partial \psi}{\partial r} \frac{\partial^2 \psi}{\partial r^2} \right) \right. \right. \\ & \left. \left. + \cos \phi \left(\frac{3}{r} \frac{\partial^2 \psi}{\partial r^2} \frac{\partial \psi}{\partial \phi} - \frac{1}{r} \frac{\partial \psi}{\partial r} \frac{\partial^2 \psi}{\partial r \partial \phi} + \right. \right. \right. \\ & \left. \left. \left. \frac{3}{r^2} \frac{\partial \psi}{\partial r} \frac{\partial \psi}{\partial \phi} + \frac{2}{r^3} \frac{\partial \psi}{\partial \phi} \frac{\partial^2 \psi}{\partial \phi^2} \right) \right) \right] \\ & + \delta^2 \frac{3}{B^4} \left[\frac{\sin 2\phi}{r^2} \left(\frac{1}{r^2} \left(\frac{\partial \psi}{\partial \phi} \right)^2 \right. \right. \\ & \left. \left. - \left(\frac{\partial \psi}{\partial r} \right)^2 \right) \right] = \\ & \left. \cos 2\phi \frac{1}{r} \left(\frac{\partial \psi}{\partial r} \frac{\partial \psi}{\partial \phi} \right) \right] \\ & \left[- \frac{1}{r} \frac{\partial^2 \tau_{rr}}{\partial r \partial \phi} - \frac{1}{r^2} \frac{\partial \tau_{rr}}{\partial \phi} \right. \\ & \left. + \frac{1}{r} \frac{\partial^2 \tau_{\phi \phi}}{\partial r \partial \phi} + \frac{1}{r^2} \frac{\partial \tau_{\phi \phi}}{\partial \phi} + \frac{\partial^2 \tau_{r\phi}}{\partial r^2} \right. \\ & \left. + \frac{3}{r} \frac{\partial \tau_{r\phi}}{\partial r} - \frac{1}{r^2} \frac{\partial^2 \tau_{r\phi}}{\partial \phi^2} \right] \\ & + \frac{\delta}{B} \left[\sin \phi \left(\frac{1}{r} \frac{\partial \tau_{r\phi}}{\partial \phi} - \frac{1}{r} (\tau_{\phi\phi} - \tau_{rr}) \right. \right. \\ & \left. \left. + \frac{\partial \tau_{ss}}{\partial r} - \frac{\partial \tau_{\phi\phi}}{\partial r} \right) \right. \\ & \left. + \cos \phi \left(\frac{1}{r} \frac{\partial \tau_{ss}}{\partial \phi} - \frac{1}{r} \frac{\partial \tau_{rr}}{\partial \phi} \right. \right. \\ & \left. \left. + \frac{2}{r} \tau_{r\phi} - \frac{\partial \tau_{r\phi}}{\partial r} \right) \right]. \end{aligned} \quad (2)$$

ثبت زمانی سیال مرتبه دو، زمان رهایی از تغییر شکل^۱ است، بنابراین می‌توان برای یک هندسه، لزجت و تحت گردابیان فشار یکسان ادعا نمود که عدد واizenبرگ در سیال UCM معرف اثر زمان رهایی از تنفس و در سیال مرتبه دو معرف زمان رهایی از تغییر شکل سیال ویسکوالاستیک است. در اینجا بر اساس نتایج بدست آمده برای سیال مرتبه دو از تحقیق اخیر و نیز سیال فوق همرفتی ماکسول از تحقیق رابرتسون و مولر [۱۵]، بر روی اثر این دو ثابت زمانی بر میدان جریان و بخصوص بر تغییرات دبی و رفتار کاهش/افزایش مقاومت^۲ در برابر جریان بحث شده است.

۲- بی بعد سازی

پارامترهای بی بعد جریان در تحقیق حاضر، عبارتند از:

$$\begin{aligned} s &= \frac{\tilde{s}}{r_0}, & r &= \frac{\tilde{r}}{r_0}, & v_i &= \frac{\tilde{v}_i \cdot e_i}{W_0}, \\ p &= \frac{r_0}{\eta W_0} \tilde{p}, & \gamma &= \tilde{\gamma} \frac{r_0}{W_0}, & \frac{\Im \gamma}{\Im t} &= \frac{\Im \tilde{\gamma}}{\Im t} \left(\frac{r_0}{W_0} \right)^2, \\ We &= \frac{\tilde{\Psi}_1 W_0}{2\eta r_0}, & Re &= \frac{\rho W_0 r_0}{\eta}, & \delta &= \frac{r_0}{R}. \end{aligned} \quad (1)$$

در رابطه فوق، علامت \sim در بالا نویس هر کمیت نشانگر بعد دار بودن آن کمیت است. همچنین r و s جهات دستگاه مختصات ترویدال، r_0 شعاع مقطع لوله، W_0 سرعت مرجع، $\tilde{\gamma}$ بردار سرعت، \tilde{p} ترم فشار، $\tilde{\Psi}_1$ ثابت اختلاف تنفس نرمال اول، $\tilde{\eta}$ ویسکوزیته سیال، $\tilde{\gamma}$ و $\tilde{\beta}/\tilde{\beta t}$ مشتقه مرتبه اول و دوم همرفتی پاد همبسته نرخ برش، We عدد واizenبرگ، Re عدد رینولدز، δ نسبت انحناء و R شعاع انحنای گام لوله خمیده می‌باشد.

۳- معادلات حاکم

معادلات حاکم بر جریان توسعه یافته سیال مرتبه دو در یک لوله خمیده شامل معادله پیوستگی و معادلات مومنتوم است. در این تحقیق از صورت تابع جریانی معادلات حاکم به صورت زیر استفاده شده است [۲۱]:

1- Retardation Time

2- Drag Deduction/Enhancement

3- The First and Second Contravariant Convected Derivative of the Shear Rate Tensor

Archive of SID

(۷) در معادله مومنتوم محوری لحظه شده است. (به جمله اول سمت راست معادله (۳-الف) توجه شود.)

۴- معادله متشکله

در این تحقیق، جریان سیال مرتبه دو در یک لوله خمیده مورد بررسی قرار گرفته است. مدل سیال مرتبه دو، مشابه مدل کریمنال-اریکسون-فیلبی^۱ (CEF) بوده با این تفاوت که توابع رئولوژیکی در سیال مرتبه دو مستقل از نرخ برش هستند. این معادلات متشکله، برای مدل سازی جریان های بررشی دائمی سیالات ویسکوالاستیک بسیار مناسب بوده و استفاده از آن برای محاسبات صنعتی متداول است [۲۲]. معادله متشکله سیال مرتبه دو همچون معادله CEF در ناحیه ویسکومتریک دیاگرام پیپکین معتبر است و به همین دلیل از این مدل و مدل CEF برای تحلیل مکانیکی رئومترهای استاندارد استفاده می شود [۲۳]. ناحیه ویسکومتریک دیاگرام پیپکین شامل اعداد دورای کوچک و محدوده وسیعی از عدد وایزنبرگ است [۲۴]. همچنین استفاده از این مدل برای جریان های سریع توصیه نمی شود [۲۲]؛ اما از آنجا که محدوده تحلیل تحقیق حاضر مربوط به اعداد رینولدز کوچک ($Re < 80$) است (مشابه تحقیق جیتچوت و رابرتسون [۱۵]) لذا مشکلی از نظر کاربرد این مدل در این محدوده از جریان اینرسی وجود ندارد. همچنین تائسور تنش $\tilde{\tau}$ برای سیال مرتبه دو تراکم ناپذیر به صورت زیر است [۲۳].

$$\tilde{\tau} = \eta \tilde{\gamma} - \frac{1}{2} \tilde{\Psi}_1 \frac{\Im \tilde{\gamma}}{\Im t} + \tilde{\Psi}_2 (\tilde{\gamma} \cdot \tilde{\gamma}). \quad (8)$$

در عبارت بالا، η ویسکوزیته، $\tilde{\Psi}_1$ ثابت اختلاف تنش نرمال اول و $\tilde{\Psi}_2$ ثابت اختلاف تنش نرمال دوم است. همچنین، در جریان دائمی، مشتقهای همرفتی پاد همبسته نرخ برش مرتبه اول و دوم به صورت زیر تعریف می شوند [۲۴]:

$$\tilde{\gamma} = \nabla \tilde{V} + \nabla \tilde{V}^T, \quad (1-9)$$

$$\frac{\Im \tilde{\gamma}}{\Im t} = \tilde{V} \cdot \nabla \tilde{\gamma} - \left[(\nabla \tilde{V})^T \cdot \tilde{\gamma} + \tilde{\gamma} \cdot (\nabla \tilde{V}) \right]. \quad (2-9)$$

اگر در رابطه (۸)، مقدار $\tilde{\Psi}_1 = 0$ باشد، مدل راینر-ریولین^۲

در رابطه فوق، w مؤلفه سرعت محوری و ψ تابع جریان های ثانویه است. ∇^2 نیز نمایشگر عملگر لاپلاسین بوده و به صورت زیر تعریف می گردد:

$$\nabla^2 = \frac{\partial^2}{\partial r^2} + \frac{1}{r} \frac{\partial}{\partial r} + \frac{1}{r^2} \frac{\partial^2}{\partial \phi^2}. \quad (3)$$

همچنین، ترم B معرف شعاع انحنای هر نقطه از مقطع جریان است که از رابطه $1 + \delta r \cos \varphi$ بدست آید. برای حل معادلات حاکم، شرط مرزی عدم لغزش بر روی جداره لوله صادق است:

$$w = \psi = \frac{\partial \psi}{\partial r} = 0 \quad \text{در } r = 1. \quad (4)$$

با استی توجه داشت که در جریان توسعه یافته در یک لوله خمیده، مشتق کلیه پارامترهای جریان بجز فشار استاتیکی نسبت به مسیر پیشروی s برابر صفر است. به همین دلیل در معادلات حاکم اثری از مشتقهای نسبت به s به چشم نمی خورد. همچنین گرادیان فشار جریان در یک لوله خمیده بر اساس گرادیان فشار در راستای خط محور کanal (جهت s) تعریف می شود. با در نظر گرفتن مقدار G به عنوان قدر مطلق افت فشار محوری داریم:

$$\frac{\partial \tilde{P}}{\partial \tilde{s}} = -G. \quad (5)$$

مقدار G در رابطه بالا یک مقدار ثابت است. در اینجا از ماکزیمم سرعت جریان سیال نیوتونی در یک لوله مستقیم که دارای قطر هیدرولیکی، گرادیان فشار و ویسکوزیته یکسانی نسبت به جریان سیال مرتبه دو در لوله خمیده است به عنوان سرعت مرجع (W_0) استفاده شده است:

$$W_0 = \frac{Gr_0^2}{4\eta}. \quad (6)$$

به سادگی می توان رابطه زیر را برای گرادیان فشار بی بعد سیال نیوتونی در لوله مستقیم بدست آورد:

$$\frac{\partial P}{\partial s} = -4. \quad (7)$$

از آنجا که سرعت مرجع بر اساس ماکزیمم سرعت جریان سیال نیوتونی در یک لوله مستقیم تعریف شده که دارای گرادیان فشریدن^۳ (G) نسبت به جریان تحت بررسی در لوله خمیده است، لذا گرادیان فشار محوری بی بعد از رابطه

Archive of SID

به عبارت دیگر، در رابطه (۱۲) δ معرف پارامتر اختلال است. با توجه به اینکه میدان جریان در لوله مستقیم فاقد جریان ثانویه است و با عنایت به این مسئله که در لوله مستقیم اثر انحنای مسیر (δ) وجود ندارد، لذا نتیجه می شود که بر خلاف سرعت محوری و میدان تنش، جمله مرتبه صفر تابع جریان مربوط به جریان های ثانویه برابر صفر است ($0 = \psi^{(0)}$).

۱-۵ حل مرتبه δ^0

برای یافتن جمله مرتبه صفر سرعت محوری بایستی سری های مربوط به سرعت محوری و میدان تنش سیال مرتبه دو را از رابطه (۱۲) در رابطه (۲-الف) قرار داد و نتیجه حاصله را بر حسب δ^0 مرتب نمود. به این ترتیب معادله زیر برای جملات مرتبه صفر حاصل می شود:

$$\frac{\partial \tau_{rs}^{(0)}}{\partial r} + \frac{1}{r} \frac{\partial \tau_{\phi s}^{(0)}}{\partial \phi} + \frac{\tau_{rs}^{(0)}}{r} = -4. \quad (13)$$

مؤلفه های تنش τ_{rs} و $\tau_{\phi s}$ سیال مرتبه دو از روابط بخش ضمیمه A بدست می آیند. بنابراین با محاسبه جمله مرتبه صفر این دو مؤلفه تنش بر حسب سرعت محوری و قرار دادن نتیجه آن در رابطه (۱۳)، معادله مربوط به جمله مرتبه صفر سرعت محوری به صورت زیر حاصل می شود:

$$\nabla^2 w^{(0)} = -4. \quad (14)$$

با اعمال شرط عدم لغزش بر روی جداره لوله، رابطه زیر برای سرعت محوری مرتبه صفر بدست می آید:

$$w^{(0)} = 1 - r^2. \quad (15)$$

توزیع سرعت بدست آمده در رابطه (۱۵) همان توزیع سرعت سیال نیوتونی در لوله مستقیم است. به عبارت دیگر، از آنجا که جملات مرتبه صفر مستقل از انحناء هستند پاسخ میدان جریان به سمت رابطه جریان در لوله مستقیم همگرا شده است. شایان ذکر است که پاسخ سرعت محوری برای جریان سیالات مرتبه دو و فوق همرفتی ماقسول در لوله مستقیم مشابه سیال نیوتونی است [۳].

بدست خواهد آمد. چنانچه هر دو مقدار Ψ_1 و Ψ_2 برابر صفر باشند، معادله متشکله سیال نیوتونی حاصل می شود. در معادله متشکله سیال مرتبه دو، زمان رهایی از تغییر شکل (λ_2) رابطه ای مستقیم با ثابت اختلاف تنش نرمال اول به صورت زیر دارد [۲۳]:

$$\lambda_2 = \frac{\Psi_1}{2\tilde{\eta}}. \quad (10)$$

همان گونه که جیتچوت و همکارانش [۲۱] نشان داده اند، با در نظر گرفتن ترم اختلاف تنش نرمال دوم، به جز تعداد بسیار محدودی از شرایط، در سایر شرایط نمی توان جوابی یکتا برای ترم های سرعت محوری یافت. به همین دلیل در حل موجود برای جلوگیری از قرار گرفتن معادلات در وضعیت منفرد، از مقدار Ψ_2 یا همان اختلاف تنش نرمال دوم، صرف نظر شده است. با این فرض و با استفاده از روابط (۱) و (۸) صورت بی بعد معادله متشکله سیال مرتبه دو به شکل زیر خواهد بود:

$$\tau = \gamma - We \frac{\Im \gamma}{\Im t}. \quad (11)$$

به دلیل طولانی بودن مؤلفه های میدان تنش سیال مرتبه دو (رابطه فوق) در دستگاه مختصات ترویدال، از ذکر آن ها در این بخش خودداری شده و این مؤلفه ها در ضمیمه A مقاله آمده است.

۵- حل به روش حساب اختلالات

در این بخش، با استفاده از حساب اختلالات پاسخ تحلیلی برای میدان جریان سیال مرتبه دو در یک لوله خمیده ارائه شده است. بطور کلی می توان پارامترهای میدان جریان را بصورت یک سری از نسبت های انحناء (δ) که در رابطه (۱) تعریف شده) معرفی نمود:

$$\begin{aligned} w &= \sum_{n=0}^2 \delta^n w^{(n)}(r, \phi), \\ \psi &= \sum_{n=1}^2 \delta^n \psi^{(n)}(r, \phi), \\ \tau &= \sum_{n=0}^2 \delta^n \tau^{(n)}(r, \phi). \end{aligned} \quad (12)$$

Archive of SID

می شود که با فیزیک جریان در مجاری خمیده سازگار است. از این رو برخلاف تحقیق جیتچوت و رابرتسون [۲۱]، تحقیق اخیر در مرتبه اول تحلیل متوقف نشده و جملات مرتبه دوم نیز محاسبه شده است. شایان ذکر است که محاسبه این جملات دشوارتر بوده و به پاسخ های پیچیده تری منجر می شود.

۲-۵ حل مرتبه δ^1

با قرار دادن رابطه (۱۲) در معادله (۲-ب) و مرتب نمودن نتیجه تا مرتبه δ^1 ، معادله مربوط به $\psi^{(1)}$ بدست می آید. پاسخ این معادله به شکل زیر است.

$$\psi^{(1)} = g_1(r) \sin(\phi). \quad (16)$$

در نهایت پس از اعمال شرط مرزی عدم لغزش (رابطه (۴))، رابطه زیر برای $g_1(r)$ حاصل می شود:

$$g_1(r) = \frac{1}{288} r w^{(0)^2} \left(\text{Re}(r^2 - 4) \right). \quad (17)$$

به همین ترتیب معادله (۲-ب) را نیز بر حسب δ^1 مرتب کرده و با حل معادله حاصل، پاسخ زیر برای $w^{(1)}$ بدست می آید:

$$w^{(1)} = f_1(r) \cos(\phi). \quad (18)$$

پس از اعمال شرایط مرزی،تابع $f_1(r)$ بصورت زیر خواهد بود:

$$f_1(r) = -\frac{1}{11520} r w^{(0)} \begin{pmatrix} 8640 + \text{Re}^2(r^6 - \\ 9r^4 + 21r^2 - 19) + \\ 1920(r^2 - 1)We^2 \\ + \text{Re}(-120r^4 + \\ 520r^2 - 440)We \end{pmatrix}. \quad (19)$$

شایان ذکر است که روابط مربوط به جملات مرتبه اول میدان سرعت جریان سیال مرتبه دو در لوله خمیده (روابط ۱۶-۱۹) نخستین بار توسط جیتچوت و رابرتسون [۲۱] ارائه شده است. محاسبه جملات مرتبه اول تنها برای آشکار نمودن جریان های ثانویه در مجاری خمیده مناسب است و این حل منجر به محاسبه دقیق میدان سرعت نمی شود. واضح است که انتگرال رابطه (۱۸) در سطح مقطع لوله برابر صفر است و بنابراین محاسبه میزان تغییرات دبی جریان در لوله خمیده نسبت به لوله مستقیم از محاسبه جمله مرتبه یک برای سرعت محوری امکان پذیر نبوده و نیازمند محاسبه جملات مرتبه بالاتر است. همچنین با محاسبه جملات مرتبه بالا پاسخ های دقیق تری برای جریان های ثانویه و سرعت محوری و همچنین پدیده متمایل شدن توزیع سرعت محوری به سمت دیواره سمت انحنای خارجی مجرأ حاصل

۳-۵ حل مرتبه δ^2

رونده تعیین معادلات و محاسبه جملات مرتبه دو کاملاً مشابه محاسبه جملات مرتبه اول است با این تفاوت که جهت بدست آوردن معادلات مربوطه لازم است که روابط (۱۲) در معادلات حاکم قرار داده شوند و جملات آنها بر حسب δ^2 مرتب شوند. به این ترتیب با حل معادلات دیفرانسیل حاصله و اعمال شرایط مرزی نتایج زیر برای سرعت محوری و جریان های ثانویه بدست می آید:

$$\psi^{(2)} = g_2(r) \sin(2\phi), \quad (20\text{-الف})$$

$$w^{(2)} = f_{20}(r) + f_{22}(r) \cos(2\phi). \quad (20\text{-ب})$$

به دلیل صورت پیچیده و طولانی توابع (g_2, f_{20}, f_{22}) از ذکر آنها در اینجا صرفنظر شده و نتایج مربوطه در ضمیمه B این مقاله آمده است. شایان ذکر است که روابط (۲۰) و همچنین روابط بخش ضمیمه B برای نخستین بار در تحقیق اخیر گزارش شده است. با توجه به رابطه (۲۰-ب) می توان دریافت که انتگرال این رابطه در سطح مقطع جریان صفر نبوده و بر خلاف جمله مرتبه اول (رابطه (۱۸)) به محاسبه تغییرات دبی جریان در لوله خمیده منجر می شود.

۶- تعیین دبی جریان

دبی جریان را می توان به سادگی از انتگرال گیری توزیع سرعت محوری تا مرتبه دو بدست آورد:

$$Q = \int_0^{2\pi} \int_0^1 wr dr d\phi. \quad (21)$$

$$Q_c = Q_s \left(1 + \delta^2 \begin{pmatrix} \frac{1}{48} - \frac{11}{17280} Re^2 - \\ \frac{1541}{4180377600} Re^4 \end{pmatrix} \right). \quad (25)$$

همچنین، اگر در رابطه (۲۳) مقدار عدد رینولدز به سمت صفر میل کند، میزان تغییرات دبی جریان خوشی سیال مرتبه دو که توسط بون [۲۰] و همکاران ارائه شده بدست خواهد آمد:

$$Q_c = Q_s \left(1 + \delta^2 \begin{pmatrix} \frac{1}{48} + \frac{1}{18} We^2 \\ + \frac{1}{135} We^4 \end{pmatrix} \right). \quad (26)$$

بنابراین، مشاهده می‌شود که پاسخ بدست آمده برای جریان اینرسی سیال مرتبه دو در تحقیق اخیر (رابطه (۲۳))، پاسخ‌های مربوط به جریان خوشی سیال مرتبه دو و جریان اینرسی نیوتونی را پوشش می‌دهد.

۷- نتایج و بحث

در این بخش بر اساس نتایج بدست آمده برای سیال مرتبه دو SOF از تحقیق اخیر و نیز سیال فوق همرفتی ماکسول UCM از تحقیق رابتون و مولر [۱۵]، بر روی اثر خواص زمان رهایی از تغییر شکل^۱ و زمان رهایی از تنش^۲ سیال ویسکوالاستیک بر میدان جریان و بخصوص بر تغییرات دبی بحث شده است. از آنجا که ثابت زمانی سیال UCM، زمان رهایی از تنش و ثابت زمانی سیال مرتبه دو زمان رهایی از تغییر شکل است، بنابراین می‌توان در یک هندسه، ویسکوزیته و تحت گرادیان فشار یکسان ادعا نمود که عدد واizenberg در سیال UCM معرف اثر زمان رهایی از تنش و در سیال مرتبه دو معرف زمان رهایی از تغییر شکل ماده ویسکوالاستیک است.

در شکل ۲ خطوط جریان‌های ثانویه در نیمه بالایی و توزیع سرعت محوری در نیمه پایینی مقطع کانال سیال مرتبه دو در اعداد واizenberg مختلف نشان داده شده است. همچنین، $Re = 50$ و $\delta = 0.1$ فرض شده است. در این

با استفاده از پاسخ بدست آمده در بخش ۵ برای جملات سرعت محوری، می‌توان مقدار مناسبی از W را از طریق رابطه زیر تا مرتبه δ^2 بدست آورد:

$$w = w^{(0)}(r) + \delta f_1(r) \cos \phi + \delta^2 (f_{20}(r) + f_{22}(r) \cos 2\phi). \quad (22)$$

با قرار دادن توزیع سرعت محوری بدست آمده از روابط (۲۱) و (۱۹)، (۱۵) و B2 در رابطه (۲۲) و محاسبه انتگرال مربوطه، می‌توان رابطه بی بعد دبی جریان را برای سیال مرتبه دو در یک لوله خمیده بدست آورد:

$$Q_c = Q_s \left(1 + \delta^2 \begin{pmatrix} \frac{1}{48} - \frac{11}{17280} Re^2 - \\ \frac{1541}{4180377600} Re^4 + \\ \left(\frac{1}{1290240} Re^3 + \frac{1}{240} Re \right) We + \\ \left(\frac{1}{18} + \frac{691}{2903040} Re^2 \right) We^2 + \\ \left(\frac{11}{4320} Re \right) We^3 + \left(\frac{1}{135} \right) We^4 \end{pmatrix} \right). \quad (23)$$

شایان ذکر است که در انتگرال گیری از رابطه (۲۲) در سطح مقطع کانال، تنها اثر انتگرال جملات $(r)^{(0)}$ و $f_{20}(r)$ غیر صفر است و میزان تغییرات دبی نسبت به جریان در لوله مستقیم نیز از انتگرال جمله $f_{20}(r)$ حاصل می‌شود. در رابطه بالا، Q_c دبی بی بعد جریان سیال نیوتونی در لوله مستقیم در گرادیان فشاری مشابه می‌باشد که برابر $\pi/2$ است. همچنین مقدار بعددار آن به شکل زیر است:

$$\tilde{Q}_s = \frac{\pi r_o^2}{8\eta} G. \quad (24)$$

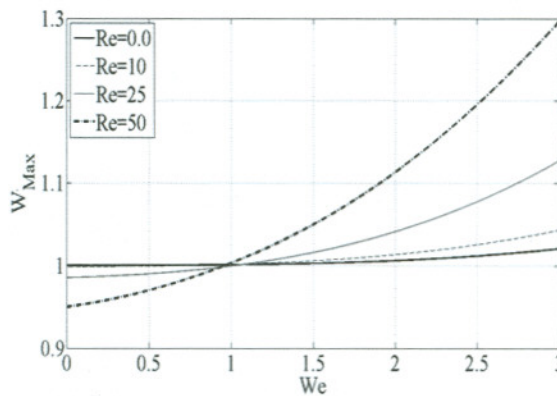
باید توجه داشت که رابطه (۲۳) برای مقادیر کوچک نسبت انحنای معتبر می‌باشد و در صورت افزایش عدد دین، این حل از پاسخ واقعی انحراف می‌یابد.

با حذف ترم الاستیک جریان و صفر قرار دادن عدد واizenberg در رابطه (۲۳)، رابطه دبی جریان اینرسی سیال نیوتونی در لوله خمیده حاصل می‌شود که نخستین بار توسط توپکاوقلو [۱۰] ارائه شده است:

Archive of SID

مرکز جریان‌های ثانویه به سمت دیواره جانبی متمایل می‌شود. بنابراین اثر هر دو ثابت زمانی رهایی از تنش و ثابت زمانی رهایی از تغییر شکل بر شدت جریان‌های ثانویه و تغییر سرعت محوری یکسان بوده اما اثر آن‌ها بر تغییر موقعیت مرکز جریان‌های ثانویه متفاوت است.

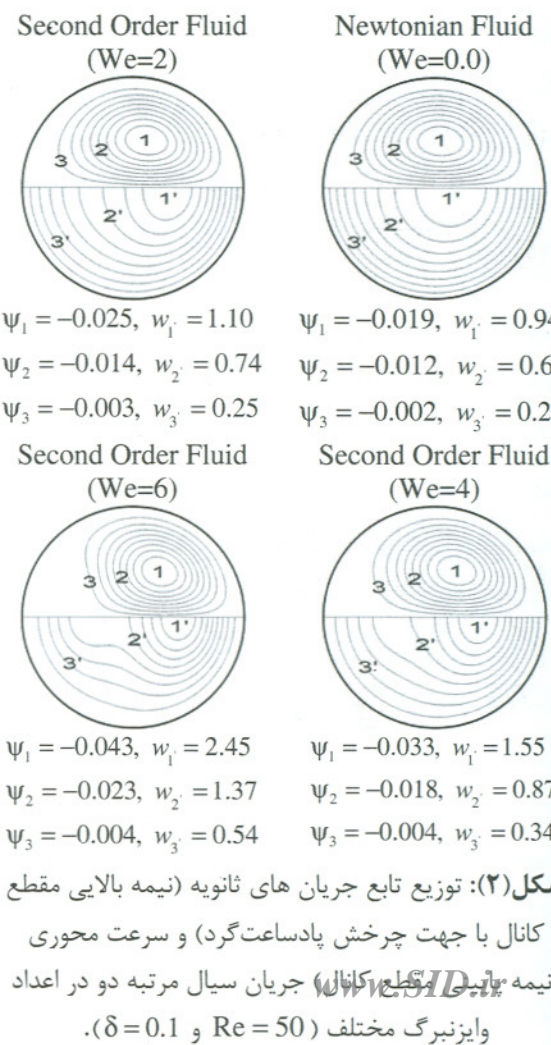
در شکل ۳ اثر عدد واizenberg بر ماکزیمم سرعت جریان اصلی سیال مرتبه دو نشان داده شده است. مطابق شکل در جریان خوشی ($Re = 0.0$) و در کلیه حالات مربوط به جریان اینرسی، افزایش عدد واizenberg منجر به افزایش ماکزیمم سرعت محوری می‌شود. همچنین، اثر عدد واizenberg بر افزایش ماکزیمم سرعت محوری در اعداد رینولدز بزرگ بیشتر است که این مربوط به واپستگی مرتبه دوم بخش الاستیک سیال مرتبه دو به نزدیک است.



شکل (۳): اثر عدد واizenberg بر ماکزیمم سرعت محوری جریان سیال مرتبه دو در اعداد رینولدز مختلف و $\delta = 0.1$.

در شکل ۴ اثر عدد واizenberg بر ماکزیمم تابع جریان‌های ثانویه سیال مرتبه دو نشان داده شده است. مطابق شکل، با افزایش عدد واizenberg شدت جریان‌های ثانویه زیاد می‌شود. چنین رفتاری در جریان اینرسی نیز مشاهده می‌شود. در ادامه به اثر ثابت‌های زمانی بر تغییرات دبی جریان پرداخته می‌شود. مطابق تحقیق رابرتسون و مولر [۱۵]، رابطه دبی در جریان سیال فوق هم‌رفته ماکسول (UCM) بصورت زیر است:

شکل، سمت راست مقطع لوله معرف سمت انحنای خارجی و سمت چپ آن معرف سمت انحنای داخلی آن است. مطابق شکل، با افزایش عدد واizenberg سیال مرتبه دو، ماکزیمم سرعت محوری و نیز شدت جریان‌های ثانویه افزایش می‌یابد و موقعیت مرکز جریان‌های ثانویه و موقعیت ماکزیمم سرعت محوری به دیواره سمت انحنای خارجی مجارا متمایل می‌شود. مطابق تحقیق رابرتسون و مولر [۱۵]، با افزایش زمان رهایی از تنش مدل UCM نیز شدت UCM جریان‌های ثانویه افزایش می‌یابد. همچنین در سیال با ازدیاد زمان رهایی از تنش، موقعیت ماکزیمم سرعت محوری به دیواره سمت انحنای خارجی کانال و موقعیت



Archive of SID

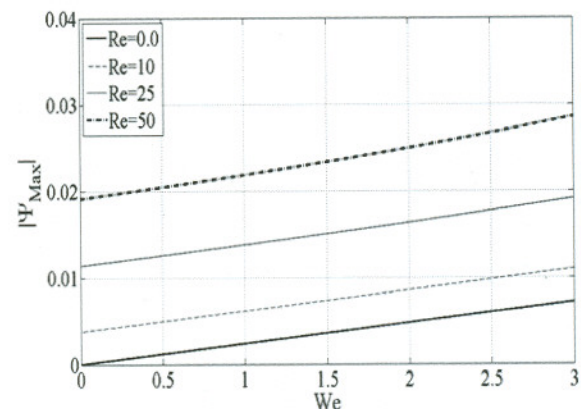
در شکل ۵ تغییرات دبی برای جریان سیال نیوتونی (رباطه ۲۵)، سیال مرتبه دو (بدست آمده از رابطه (۲۳) تحقیق اخیر) و سیال UCM (بدست آمده از رابطه فوق از تحقیق رابرتسون و مولر [۱۵]) بر حسب عدد رینولدز و در اعداد واizenberg مختلف نشان داده شده است. نتیجه جالب توجه آنکه مطابق حل به روش حساب اختلالات، تغییر دبی برای هر سه نوع سیال، تابع درجه دومی از نسبت انحناء است. مطابق شکل، با افزایش عدد رینولدز، نسبت دبی در جریان سیال نیوتونی چهار افت می شود. همچنین برای سیال UCM در اعداد واizenberg بزرگ، نسبت دبی جریان نسبت به سیال نیوتونی کمتر است اما با افزایش عدد واizenberg برای جریان سیال مرتبه دو، نسبت دبی سیال افزایش می یابد. جهت مطالعه تغییر دبی جریان سیال ویسکوالاستیک نسبت به سیال نیوتونی می توان پارامتر تغییرات نسبت دبی را تعریف نمود:

$$\nabla Q_R = \frac{Q_c - Q_s}{Q_s \delta^2} \left| \begin{array}{l} \text{Vicsoelastic} \\ - \frac{Q_c - Q_s}{Q_s \delta^2} \end{array} \right|_{\text{Newtonian}} . \quad (28)$$

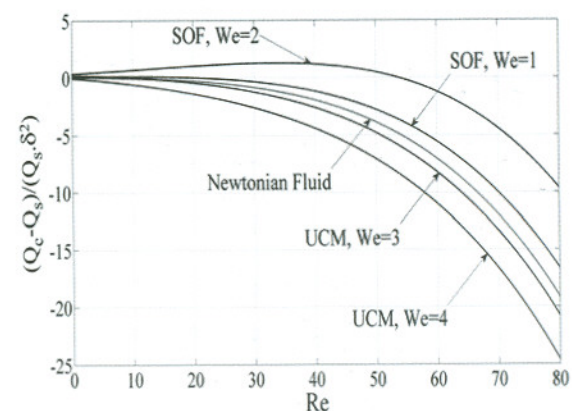
واضح است که مقادیر مثبت و منفی ∇Q_R به ترتیب نشان دهنده رفتار کاهش و افزایش مقاومت لوله خمیده در برابر جریان است.

در شکل ۶، اثر عدد واizenberg بر تغییرات نسبت دبی جریان سیال UCM و مرتبه دو نشان داده شده است. مطابق شکل، برای سیال مرتبه دو با افزایش عدد واizenberg (زمان رهایی از تغییر شکل) دبی جریان افزایش یافته و جریان از خود رفتار کاهش مقاومت نشان می دهد. همچنین در سیال UCM در اعداد واizenberg (زمان رهایی از تنش) کوچک، رفتار جریان بصورت کاهش مقاومت است؛ اما در اعداد واizenberg بزرگتر از $2/1$ از خود رفتار افزایش مقاومت نشان می دهد. شایان ذکر است که بون و همکاران [۲۰] نیز اثر مشابهی را برای تغییرات مقاومت لوله های خمیده در برابر جریان خوشی سیالات UCM و مرتبه دو مشاهده نموده اند

$$Q_c = Q_s \left[1 + \frac{\delta^2}{48} \left[\begin{array}{l} 1 - Re^2 \left(\frac{11}{360} + \frac{1541}{87091200} \right) \\ + \frac{8}{3} We^2 \left(1 - \frac{1}{15} We^2 \right) + \\ \frac{1}{26880} We Re (Re^2 + 5376) - \\ \frac{101}{60480} We^2 Re^2 - \frac{2}{45} We^3 Re \end{array} \right] \right]. \quad (27)$$

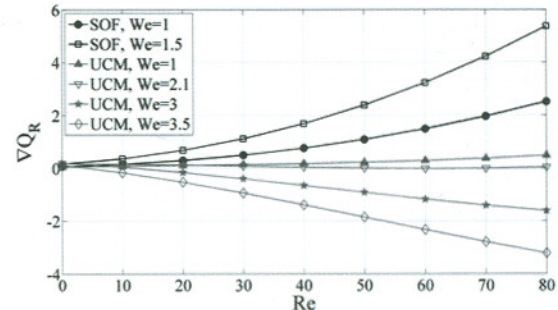
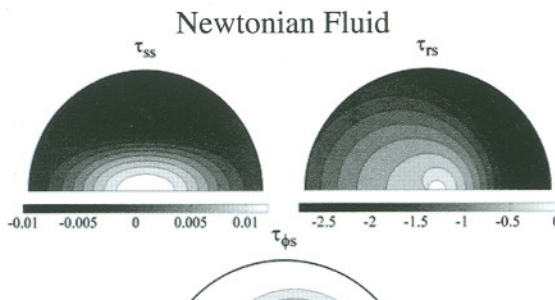


شکل (۴): اثر عدد واizenberg بر ماکریم شدت جریان های ثانویه سیال مرتبه دو در اعداد رینولدز مختلف و $\delta = 0.1$.

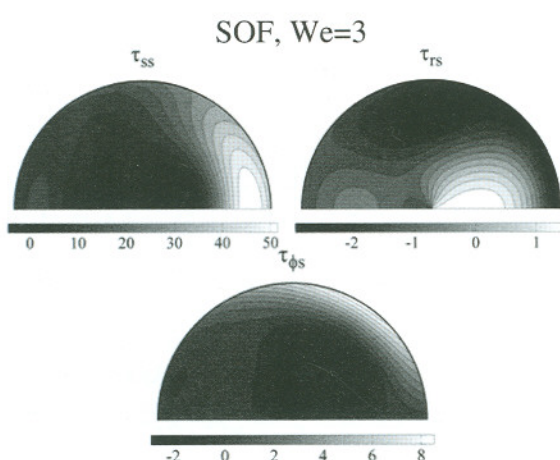
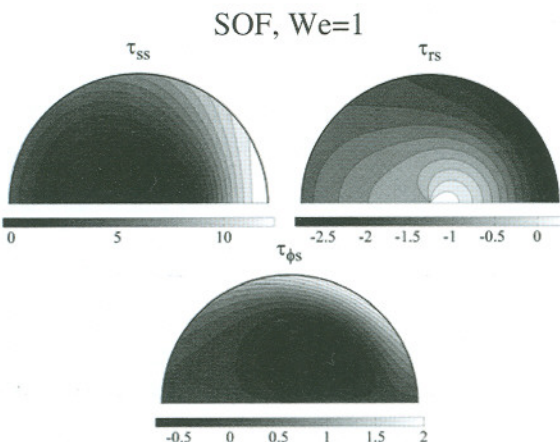


شکل (۵): نسبت دبی جریان سیالات نیوتونی، مرتبه دو و فوق همرفتی ماکسول (UCM) نسبت به عدد رینولدز و در اعداد واizenberg مختلف.

Archive of SID



شکل (۶): تغییرات نسبت دبی جریان سیالات نیوتینی، مرتبه دو (SOF) و فوق همرفتی ماکسول (UCM) نسبت به عدد رینولدز و در اعداد وایزنبرگ مختلف.



شکل (۷): توزیع تنش نرمال محوری (τ_{ss}) و مؤلفه‌های تنش τ_{rs} و $\tau_{\phi s}$ در $Re = 50$ و $\delta = 0.1$.

اما در تحقیق اخیر این اثر برای جریان اینرسی این دو سیال بصورت تحلیلی به اثبات رسیده است. در ادامه، مکانیزم اثر خاصیت الاستیک بر شدت جریان های ثانویه و دبی سیال مرتبه دو مورد بررسی قرار می گیرد.

در ناحیه هسته جریان (ناحیه حول مرکز مقطع لوله و دور از دیواره)، مرتبه سرعت محوری از مرتبه سرعت جریان های ثانویه بزرگتر است. فن و همکاران [۳] با استفاده از این خاصیت و با صرفنظر کردن از اثر اختلاف تنش نرمال دوم، رابطه زیر را برای بالانس نیروها در ناحیه هسته جریان سیال ویسکوالاستیک بدست آورده‌ند:

$$Re \frac{w^2}{B} \approx \frac{\partial P}{\partial n} + \frac{\tau_{ss}}{B}. \quad (۲۹)$$

مطابق رابطه فوق، اثر نیروی گریز از مرکز با اثر گرادیان فشار در جهت شعاع انحناء و اثر تنش نرمال محوری (τ_{ss}) در ناحیه هسته جریان بالانس شده است.

در شکل ۷ تنش نرمال محوری (τ_{ss}) برای جریان سیال نیوتینی و سیال مرتبه دو در دو عدد وایزنبرگ ۱ و ۳ نشان داده شده است. در اینجا نسبت انحناء برابر $1/10$ و عدد رینولدز جریان برابر 50 در نظر گرفته شده است. ماشالکار و دواراجان^۱ [۲۴] نشان دادند که در ناحیه هسته جریان اینرسی سیال نیوتینی در لوله های خمیده، گرادیان فشار در جهت شعاع انحناء تنها با اثر نیروی گریز از مرکز بالانس می‌شود. به عبارت دیگر در جریان سیال نیوتینی، تنش نرمال

زمانی بر جریان ویسکوالاستیک در لوله خمیده را بررسی نمود. مهم‌ترین نتایج این تحقیق عبارتند از:

- افزایش زمان رهایی از تغییر شکل و زمان رهایی از تنش منجر به افزایش شدت جریان‌های ثانویه می‌شود. افزایش زمان رهایی از تغییر شکل سبب متمایل شدن مرکز گردابه‌های تیلور-گورتلر به سمت دیواره خارجی شده و اثر آن بر تغییر موقعیت مرکز گردابه‌ها به سمت دیواره‌های جانبی ناچیز است در حالیکه افزایش زمان رهایی از تنش سبب انتقال مرکز گردابه‌ها به سمت دیواره جانبی می‌شود.
- در ناحیه هسته جریان، اثر نیروی گریز از مرکز با گرادیان فشار در جهت شعاع انحناء و تنش نرمال محوری بالانس می‌شود. افزایش زمان رهایی از تغییر شکل سیال مرتبه دو منجر به ایجاد تنش نرمال محوری قوی در نزدیکی دیواره خارجی می‌شود. به دلیل کوچک بودن اثر سرعت محوری و نیروی گریز از مرکز و بزرگ بودن مقدار تنش نرمال محوری در این ناحیه، بالانس نیروها به هم خورد و مکانیزم مومنتوم جهت حفظ تعادل وارد عمل می‌شود و جریان‌های ثانویه‌ای در جهت گردابه‌های تیلور-گورتلر ایجاد می‌شود. در نتیجه برآیند شدت جریان‌های ثانویه افزایش پیدا می‌کند.

- افزایش زمان رهایی از تغییر شکل سیال مرتبه دو منجر به کاهش مقاومت مجاور در برابر جریان می‌شود. در حالیکه در سیال UCM و در مقادیر کوچک زمان رهایی از تنش سیال، جریان از خود رفتار کاهش مقاومت و در مقادیر بزرگ این ثابت زمانی ($We > 2.1$), از خود رفتار افزایش مقاومت نشان می‌دهد.

بنابراین، نتیجه‌گیری می‌شود که اثر این دو ثابت زمانی بر پارامترهای میدان جریان متفاوت و بر دبی / افتراقی فشار جریان در اعداد واizenberg بزرگ کاملاً بر عکس است. همچنان ذکر است که تحقیق حاضر نخستین تحقیقی به شماره آید که در آن اثر متضاد دو ثابت زمانی رهایی از تنش و پیش‌خبر سیال ویسکوالاستیک بر جریان اینرسی آن در کانال‌های خمیده گزارش می‌شود.

محوری نقشی در تشکیل جریان‌های ثانویه ندارد. مطابق شکل ۷، مقدار این تنش در جریان سیال نیوتینی بسیار کوچک است اما در سیال مرتبه دو با ازدیاد عدد واizenberg مقدار تنش نرمال محوری به طور چشمگیری افزایش پیدا می‌کند. این پدیده با آنالیز مرتبه بزرگی فن و همکاران [۳] نیز تطبیق دارد. مطابق مطالعه آن‌ها، تنش نرمال محوری نسبت به خواص ویسکوز از مرتبه ۴ و بسیار کوچک است اما مقدار آن نسبت به خواص الاستیک قبل توجه است. در نزدیکی دیواره خارجی، مقدار سرعت محوری و در نتیجه اثر نیروی گریز از مرکز اندک است در حالیکه برای جریان سیال مرتبه دو مقدار تنش نرمال محوری در این ناحیه بسیار بزرگ است. لذا رابطه تعادلی (۲۹) در این ناحیه برقرار نبوده و جهت حفظ تعادل مکانیزم مومنتوم وارد عمل می‌شود و جریان‌های ثانویه‌ای هم جهت با گردابه‌های تیلور-گورتلر بوجود می‌آید و برآیند شدت جریان‌های ثانویه افزایش پیدا می‌کند. همچنین در شکل ۷ مؤلفه‌های تنش τ_{xx} و τ_{yy} جریان سیال مرتبه دو نشان داده شده است. این دو مؤلفه تنش در معادله مربوط به جریان محوری موثرند و بر اساس توزیع آن‌ها می‌توان به اثر عدد واizenberg در افزایش دبی جریان سیال مرتبه دو پی برد. مطابق شکل با افزایش عدد واizenberg، توزیع مؤلفه تنش τ_{xx} تفاوت چندانی پیدا نمی‌کند اما مؤلفه تنش τ_{yy} دچار تغییرات بسیار شدیدی می‌شود به نحوی که ماکزیمم قدر مطلق این مؤلفه تنش در حالت $We = 3$ حدود ۱۰۰ برابر از جریان سیال نیوتینی بزرگتر است. بنابراین، در جریان سیال مرتبه دو، ایجاد تغییرات عمدۀ در مقدار τ_{yy} به افزایش سرعت محوری و دبی نسبت به جریان نیوتینی منجر می‌شود.

-۸- نتیجه گیری

در یک هندسه و گرادیان فشار مشخص، عدد واizenberg در جریان سیالات مرتبه دو و UCM به ترتیب معیاری از زمان‌های رهایی از تنش و تغییر شکل است. لذا با مقایسه نتایج این تحقیق برای جریان سیال مرتبه دو با مطالعه پیشین برای جریان سیال UCM، می‌توان اثر این دو ثابت

Archive of SID

- Int. J. Biomed. Comp., Vol. 32, No. 1, pp. 135-149, 1993.
14. Sarin, V.B., "The Steady Laminar Flow of an Elastico-Viscous Liquid in a Curved Pipe of Varying Elliptic Cross Section", *Math. Comput. Modelling.*, Vol. 26, No. 1, pp. 109-121, 1997.
 15. Robertson, A.M. and Muller, S.J., "Flow of Oldroyd-B Fluids in Curved Pipes of Circular and Annular Cross-Section", *Int. J. Non-linear Mech.*, Vol. 31, No. 1, pp. 3-20, 1996.
 16. Iemoto, Y., Nagata, M., and Yamamoto, F., "Steady Laminar Flow of a Power-Law Fluid in a Curved Pipe of Circular Cross-Section with Varying Curvature", *J. Non-Newton Fluid*, Vol. 19, No. 1, pp. 161-183, 1985.
 17. Iemoto, Y., Nagata, M., and Yamamoto, F., "Steady Laminar Flow of Viscoelastic Fluid in a Curved Pipe of Circular Cross-Section with Varying Curvature", *J. Non-Newton Fluid*, Vol. 22, No. 1, pp. 101-114, 1986.
 18. Das, B., "Flow of Bingham Fluid in a Slightly Curved Tube", *Int. J. Eng. Sci.*, Vol. 30, No. 3, pp. 1193-1207, 1992.
 19. Sharma, H.G. and Prakash, A., "Flow of a Second Order Fluid in a Curved Pipe", *Indian J. Pure Appl. Math.*, Vol. 8, No. 2, pp. 546-557, 1997.
 20. Bowen, P.J., Davies, A.R., and Walters, K., "On Viscoelastic Effects in Swirling Flows", *J. Non-Newton Fluid*, Vol. 38, No. 1, pp. 113-126, 1991.
 21. Jitchote, W. and Robertson, A.M., "Flow of Second Order Fluids in Curved Pipes", *J. Non-Newton Fluid*, Vol. 90, No. 1, pp. 91-116, 2000.
 22. Bird, R.B. and Wiest, J.M., "Constitutive Equations for Polymeric Liquids", *Annual Rev. of Fluid Mech.*, Vol. 27, No. 1, pp. 169-193, 1995.
 23. Bird, R.B., Armstrong, R.C., and Hassager, O., "Dynamics of Polymer Liquids", Second Ed., Vol. 1, John Wiley & Sons, Toronto, Canada, 1987.
 24. Phan-Thien, N., "Understanding Viscoelasticity", First Ed., Springer, New York, 2002.
 25. Mashelkar, R.A. and Devarajan, G.V., "Secondary Flows of Non-Newtonian Fluids: Part I-Laminar Boundary Layer Flow of a Generalized Non-Newtonian Fluid in a Coiled Tube, Part II - Frictional Losses in Laminar Flow of Purely Viscous and Viscoelastic Fluids Through Coiled Tubes", *Trans. Inst. Chem. Engrs.*, Vol. 54, No. 1, pp. 100-114, 1976.

مراجع

1. Zhang, M.K., Shen, X.R., Ma, J.F., and Zhang, B.Z., "Galerkin Method Study on Flow of Oldroyd-B Fluids in Curved Circular Cross-Section Pipes", *J. Zhejiang Univ. Sci.*, Vol. 7, No. 1, pp. 263-270, 2007.
2. Phan-Thien, N. and Zheng, R., "Viscoelastic Flow in Curved Duct: A Similarity Solution for the Oldroyd-B Fluid", *J. Applied Math. and Phys.*, Vol. 41, No. 3, pp. 766-781, 1990.
3. Fan, Y., Tanner, R.I., and Phan-Thien, N., "Fully Developed Viscous and Viscoelastic Flows in Curved Pipes", *J. Fluid Mech.*, Vol. 440, No. 2, pp. 327-357, 2001.
4. Tsang, H.Y. and James, D.F., "Reduction of Secondary Motion in Curved Tubes by Polymer Additives", *J. Rheol.*, Vol. 24, No. 3, pp. 589-601, 1980.
5. Yanase, S., Goto, N., and Yamamoto, K., "Dual Solutions of the Flow Through a Curved Tube", *Fluid Dyn. Res.*, Vol. 5, No. 1, pp. 191-201, 1989.
6. Jones, W.M. and Davies, O.H., "The Flow of Dilute Aqueous Solutions of Macromolecules in Various Geometries: III. Curved Pipes and Porous Materials", *J. Phys. D: Appl. Phys.*, Vol. 9, No. 3, pp. 753-770, 1976.
7. Chen, Y., Chen, H., Zhang, J., and Zhang, B., "Viscoelastic Flow in Rotating Curved Pipes", *Phys. Fluids*, Vol. 18, No. 1, pp. 1-17, 2006.
8. کیهانی، م ح، حیرانی نوبری، م ر، و سوروزی، م، "بررسی عددی جریان و انتقال حرارت در یک کانال U شکل گردان"، مجله مکانیک و هواشناسی دانشگاه امام حسین (ع)، جلد ۳، شماره ۲، ص.ص. ۱۳۸۶-۷۲-۵۹.
9. Dean, W.R., "Note on the Motion of Fluid in a Curved Pipe", *Phil. Mag.*, Vol. 4, No. 1, pp. 208-223, 1927.
10. Dean, W.R., "The Stream-Line Motion of Fluid in a Curved Pipe", *Philosophical Maga.*, Vol. 5, No. 3, pp. 673-695, 1928.
11. Topakoglu, H.C., "Steady Laminar Flow of an Incompressible Viscous Fluid in a Curved pipe", *J. Math. Mech.*, Vol. 16, No. 4, pp. 1231-1237, 1967.
12. Thomas, R.H. and Walters, K., "On the Flow of an Elastico-Viscous Liquid in a Curved Pipe Under a Pressure Gradient", *J. Fluid Mech.*, Vol. 16, No. 1, pp. 228-242, 1964.
13. Sarin, V.B., "Flow of an Elastico-Viscous Liquid in a Curved Pipe of Slowly Varying Curvature", *W.W.SID.ir*

Archive of SID

ضمیمه A- مؤلفه های تانسور تنفس سیال مرتبه دو

تانسور تنفس بی بعد سیال مرتبه دو به صورت $\tau = \gamma - We \frac{\Im \gamma}{\Im t}$ بوده که مؤلفه های آن از قرار زیر هستند:

$$\begin{aligned} \gamma_{rr} &= 2 \frac{\partial u}{\partial r}, \quad \gamma_{r\phi} = \frac{\partial v}{\partial r} + \frac{1}{r} \left(\frac{\partial u}{\partial \phi} - v \right), \quad \gamma_{\phi\phi} = \frac{2}{r} \left(u + \frac{\partial v}{\partial \phi} \right), \quad \gamma_{rs} = \frac{\partial w}{\partial r} - \frac{\delta}{B} w \cos \phi, \\ \gamma_{\phi s} &= \frac{1}{r} \frac{\partial w}{\partial \phi} + \frac{\delta}{B} w \sin \phi, \quad \gamma_{ss} = \frac{2\delta}{B} (u \cos \phi - v \sin \phi). \end{aligned} \quad (A1)$$

و همچنین:

$$\begin{aligned} \frac{\Im \gamma_{rr}}{\Im t} &= u \frac{\partial \gamma_{rr}}{\partial r} + \frac{v}{r} \frac{\partial \gamma_{rr}}{\partial \phi} - 2 \frac{\partial u}{\partial r} \gamma_{rr} - \frac{2}{r} \frac{\partial u}{\partial \phi} \gamma_{r\phi}, \\ \frac{\Im \gamma_{r\phi}}{\Im t} &= u \frac{\partial \gamma_{r\phi}}{\partial r} + \frac{v}{r} \left(\frac{\partial \gamma_{r\phi}}{\partial \phi} + \gamma_{rr} \right) - \frac{\partial u}{\partial r} \gamma_{r\phi} - \frac{1}{r} \frac{\partial u}{\partial \phi} \gamma_{\phi\phi} - \frac{\partial v}{\partial r} \gamma_{rr} - \frac{1}{r} \left(u + \frac{\partial v}{\partial \phi} \right) \gamma_{r\phi}, \\ \frac{\Im \gamma_{rs}}{\Im t} &= u \frac{\partial \gamma_{rs}}{\partial r} + \frac{v}{r} \frac{\partial \gamma_{rs}}{\partial \phi} - \frac{\partial u}{\partial r} \gamma_{rs} - \frac{1}{r} \frac{\partial u}{\partial \phi} \gamma_{\phi s} - \frac{\partial w}{\partial r} \gamma_{rr} - \frac{1}{r} \frac{\partial w}{\partial \phi} \gamma_{r\phi} + \frac{\delta}{B} (-u \cos \phi + v \sin \phi) \gamma_{rs} + w \gamma_{rr} \cos \phi - w \gamma_{r\phi} \sin \phi, \\ \frac{\Im \gamma_{\phi\phi}}{\Im t} &= u \frac{\partial \gamma_{\phi\phi}}{\partial r} + \frac{v}{r} \left(\frac{\partial \gamma_{\phi\phi}}{\partial \phi} + 2 \gamma_{r\phi} \right) - 2 \frac{\partial v}{\partial r} \gamma_{r\phi} - \frac{2}{r} \left(u + \frac{\partial v}{\partial \phi} \right) \gamma_{\phi\phi}, \\ \frac{\Im \gamma_{\phi s}}{\Im t} &= u \frac{\partial \gamma_{\phi s}}{\partial r} + \frac{v}{r} \left(\gamma_{rs} + \frac{\partial \gamma_{\phi s}}{\partial \phi} \right) - \frac{\partial v}{\partial r} \gamma_{rs} - \frac{1}{r} \left(u + \frac{\partial v}{\partial \phi} \right) \gamma_{\phi s} - \frac{\partial w}{\partial r} \gamma_{r\phi} - \frac{1}{r} \frac{\partial w}{\partial \phi} \gamma_{\phi\phi} + \frac{\delta}{B} (-u \cos \phi + v \sin \phi) \gamma_{\phi s} \\ &\quad + w \gamma_{r\phi} \cos \phi - w \gamma_{\phi\phi} \sin \phi, \\ \frac{\Im \gamma_{ss}}{\Im t} &= u \frac{\partial \gamma_{ss}}{\partial r} + \frac{v}{r} \frac{\partial \gamma_{ss}}{\partial \phi} - 2 \frac{\partial w}{\partial \phi} \gamma_{\phi s} + 2 \frac{\delta}{B} (-u \cos \phi + v \sin \phi) \gamma_{ss} + w \gamma_{rs} \cos \phi - w \gamma_{\phi s} \sin \phi. \end{aligned} \quad (A2)$$

ضمیمه B- پاسخ جملات مرتبه دوم میدان سرعت وتابع جریان های ثانویه

روابط حاصله برای جملات مرتبه دو جریان های ثانویه و سرعت محوری شامل توابع $f_{22}(r)$ ، $g_2(r)$ و $f_{20}(r)$ (روابط (۲۰) را ببینید) بوده و به شرح زیر می باشند:

$$g_2(r) = -\frac{1}{464486400} r^2 w^{(0)2} \left\{ \begin{array}{l} \operatorname{Re}(564480r^2 - 1290240) + \operatorname{Re}^3(5r^8 - 134r^6 + 777r^4 - 2792r^2 + 4979) \\ + (5160960 - 1935360r^2)We^3 + \operatorname{Re}(248640r^4 - 1330560r^2 + 1659840)We^2 \\ + (\operatorname{Re}^2(-4224r^6 + 39712r^4 - 124672r^2 + 172944) - 26611200)We \end{array} \right\}, \quad (B1)$$

$$f_{20}(r) = w^{(0)} \left\{ \begin{array}{l} \left(\frac{3}{32} + \frac{11}{32}r^2 + \operatorname{Re}^2 \left(\frac{7}{230400}r^8 - \frac{17}{57600}r^6 + \frac{11}{19200}r^4 - \frac{43}{230400}r^2 - \frac{37}{57600} \right) + \operatorname{Re}^4 \left(\frac{1}{106168320}r^{14} \right. \right. \\ \left. \left. - \frac{121}{743178240}r^{12} + \frac{803}{743178240}r^{10} - \frac{4523}{1238630400}r^8 + \frac{26261}{3715891200}r^6 - \frac{29179}{3715891200}r^4 + \frac{17161}{3715891200}r^2 \right. \right. \\ \left. \left. - \frac{1373}{1238630400} \right) + \left(\frac{1}{36}r^6 + \frac{1}{108}(-5r^4 + r^2 + 1) \right)We^4 + \left(\operatorname{Re} \left(-\frac{11}{2880}r^8 + \frac{3}{160}r^6 - \frac{13}{540}r^4 + \frac{109}{17280}r^2 \right) \right. \right. \\ \left. \left. + \frac{49}{17280} \right) \right) \\ + \left(\frac{1}{4}r^4 - \frac{19}{48}r^2 + \frac{7}{48} \right) \\ + \operatorname{Re}^2 \left(\frac{71}{414720}r^{10} - \frac{577}{414720}r^8 + \frac{3211}{829440}r^6 - \frac{401}{92160}r^4 \right. \\ \left. + \frac{431}{276480}r^2 + \frac{13}{92160} \right) \end{array} \right\} We^2, \quad (B2)$$

$$+ \left\{ \begin{array}{l} \left(-\frac{13}{5806080}r^{12} + \frac{979}{34836480}r^{10} - \frac{11129}{87091200}r^8 \right) \\ + \operatorname{Re}^3 \left(\frac{194993}{696729600}r^6 - \frac{218147}{696729600}r^4 + \frac{107563}{696729600}r^2 \right) \\ - \frac{13397}{696729600} \\ + \operatorname{Re} \left(-\frac{83}{4608}r^6 + \frac{341}{4608}r^4 - \frac{367}{4608}r^2 + \frac{31}{1536} \right) \end{array} \right\} We$$

Archive of SID

$$f_{22}(r) = \frac{r^2 w^{(0)}}{117050572800} \left\{ \begin{array}{l} \left(36578304000 + \text{Re}^4 (160r^{12} - 2801r^{10} + 19123r^8 - 70547r^6 + 174649r^4 \right. \\ \left. - 240206r^2 + 145690) + \text{Re}^2 (1693440r^6 - 125314560r^4 + 259519680r^2 \right. \\ \left. - 196015680) \right) \\ + (5202247680r^4 - 11054776320r^2 + 5419008000) We^4 \\ + \text{Re} (-392878080r^6 + 2343720960r^4 - 3894912000r^2 + 1835688960) We^3 \\ + \left(39016857600r^2 - 32514048000 \right. \\ \left. + \text{Re}^2 (9918720r^8 - 92534400r^6 + 303730560r^4 - 441806400r^2 \right. \\ \left. + 218796480) \right) We^2 \\ + \left(\text{Re}^3 (-71316r^{10} + 960876r^8 - 4772124r^6 + 12373956r^4) \right. \\ \left. - 17566164r^2 + 10024812 \right) We \\ + \text{Re} (-1280240640r^4 + 5222568960r^2 - 3434296320) \end{array} \right\}. \quad (\text{B3})$$